

УДК 539.12

**ПРИМЕНЕНИЕ ТЕХНИКИ ИНТЕГРАЛОВ МЕЛЛИНА–БАРНСА
В ВЫЧИСЛЕНИЯХ ВКЛАДОВ В АНОМАЛЬНЫЕ МАГНИТНЫЕ
МОМЕНТЫ ЛЕПТОНОВ****В. И. Лашкевич, О. П. Соловцова***Учреждение образования «Гомельский государственный технический университет имени П. О. Сухого», Республика Беларусь*

Используя технику интегралов Меллина–Барнса, получены точные аналитические выражения для вкладов в аномальные магнитные моменты лептонов $L = e, m, t$ от диаграмм поляризации вакуума тремя лептонными петлями. Аналитические выражения получены как функции отношения квадрата масс: массы лептона в петле к массе внешнего лептона, $t = (m_l/m_L)^2$ во всей области $0 < t < \infty$, отдельно для $t < 1$ и $t > 1$, и, как было установлено, эти выражения представляют собой две ветви одной и той же аналитической функции.

Ключевые слова: интегралы Меллина–Барнса, квантовая электродинамика, аномальные магнитные моменты лептонов, поляризация вакуума лептонными петлями.

**APPLICATION OF THE MELLIN–BARNES INTEGRALS TECHNIQUE
IN CALCULATIONS OF CONTRIBUTIONS TO ANOMALOUS
MAGNETIC MOMENTS OF LEPTONS****V. I. Lashkevich and O. P. Solovtsova***Sukhoi State Technical University of Gomel, the Republic of Belarus*

Based on the Mellin-Barnes integral technique, exact analytical expressions are obtained for the contributions to the anomalous magnetic moments of leptons $L = e, m, t$ from three lepton loops vacuum polarization diagrams. The corresponding analytical expressions are obtained as functions of the ratio of squared masses: the mass of the lepton in the loop to the mass of the external lepton, $t = (m_l/m_L)^2$, in the entire region $0 < t < \infty$, separately for $t < 1$ and $t > 1$, and, as it was established, these expressions represent two branches of the same analytic function.

Keywords. Mellin–Barnes integrals, quantum electrodynamics, anomalous magnetic moments of leptons, vacuum polarization by lepton loops.

Теоретическое и экспериментальное изучение аномальных магнитных моментов лептонов $(g-2)_L$ на протяжении многих десятилетий и по настоящее время (см. обзоры [1, 2]) играет важную роль в развитии представлений о взаимодействии элементарных частиц и теории, их описывающей. Отклонение гиромангнитного отношения g дираковской частицы от значения 2 принято обозначать через безразмерную величину a , называемую аномальным магнитным моментом (АММ) частицы: $n = 2(1+a)$. Впервые АММ электрона a_e был теоретически рассчитан в первом порядке теории возмущений по постоянной тонкой структуры α Ю. Швингером еще в 1948 г. [3] и соответствующее значение оказалось в блестящем согласии с имеющимся в то время экспериментальным значением $a_e^{\text{эксп}}$. В настоящее время и экспериментальная точность, и точность теоретических расчетов достигли высочайшего уровня и широко обсуждается не сама величина АММ лептона, а отклонение (дискрепанс) между предсказаниями стандартной модели (СМ) и прямыми измерениями АММ электрона и мюона. В настоящий момент дискрепанс составляет $\sim 2,5$ стандартных отклонений для электрона [4, 5] и $\sim 4,2$ стандартных отклонений для мюона

[6]. Такие большие отклонения могут свидетельствовать в пользу существования новых взаимодействий и проявления новой физики за пределами СМ. В связи с этим идет тщательная проверка теоретических основ и численных расчетов независимыми методами, а также планируется повышение экспериментальной точности.

Цель настоящей работы состоит в нахождении явных выражений для ряда вкладов в АММ лептонов, что дает возможность получить численные значения соответствующих вкладов с любой точностью и проверить имеющиеся численные оценки. В исследованиях мы используем технику интегралов Меллина–Барнса (МБ) – семейство интегралов в комплексной плоскости, подынтегральное выражение которых определяется произведением гамма-функций. Наши исследования можно рассматривать как продолжение работы [7], в которой были представлены выражения для вкладов в АММ от поляризации вакуума лептонными петлями. В работе [7] соответствующие выражения были применены для получения асимптотических выражений, параметром разложения в которых является отношение масс лептонов. Мы получили, что с помощью техники интегралов МБ можно получить и точные выражения.

1. Теоретические основы. Используя преобразование МБ, можно представить вклад от диаграммы поляризации вакуума с тремя лептонными петлями (рис. 1) в виде контурного интеграла в комплексной плоскости:

$$A_2^{(8)}(t) = \frac{1}{2\pi i} \left(-\frac{2\pi^2}{27} \right) \int_{c-i\infty}^{c+i\infty} \frac{dz t^{-z}}{\sin^2(\pi z)} \times$$

$$\times \left[\frac{(36 + 54z - 29z^2 - 34z^3 + 5z^4 + 4z^5)(6 + 13z + 4z^2)}{z^3(z+1)^2(z+2)^3(z+3)} + \frac{18\pi(6 + 13z + 4z^2)(z-1)(-1-z+z^2)\cot(\pi z)}{z^2(z+1)(z+2)^2(2z+1)(2z-1)(z+3)} \right],$$
(1)

где t определяется как квадрат отношения масс лептонов.

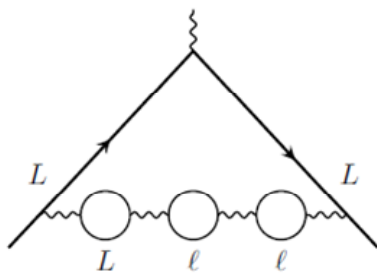


Рис. 1. Диаграмма поляризации вакуума тремя лептонными петлями

Вычислить интеграл (1) можно с помощью теоремы Коши по вычетам. В левой полуплоскости первое слагаемое имеет полюса в точках $z = 0, -1, -2, -3$, а при $z = -4, -5, \dots, -n, \dots$ все полюса будут второго порядка. Второе слагаемое в левой полуплоскости имеет полюса в точках $z = 0, -1, -2, -3, -1/2$, а при $z = -4, -5, \dots, -n, \dots$ все полюса будут третьего порядка.

В правой полуплоскости первое слагаемое имеет только полюса второго порядка в точках $z = 1, 2, 3, \dots, n, \dots$. Второе слагаемое имеет полюс в точке $z = 1$, а также при $z = 2, 3, 4, \dots, n, \dots$ и все полюса будут третьего порядка.

2. Результаты. Суммируя все вычеты, получаем точные аналитические выражения, которые удобно представить в виде разложения по степеням логарифма:

$$A_2^{(8)}(t) = c_0(t) + c_1(t)\ln(t) + c_2(t)\ln^2(t) + c_3(t)\ln^3(t), \quad t < 1; \quad (2)$$

$$A_2^{(8)}(t) = d_0(t) + d_1(t)\ln(t) + d_2(t)\ln^2(t), \quad t > 1, \quad (3)$$

где

$$\begin{aligned} c_0(t) &= \frac{7627}{1944} + \frac{175}{18}t - \frac{54346}{151875}t^2 + \frac{31168}{13505625}t^3 - \frac{32}{15435}t^4 - \frac{4\pi^4}{45}(1+2t^2) - \\ &- \frac{\pi^2}{3}f_1(t) + \left(\frac{12}{35} - \frac{4}{45}t\right)t^4\Phi\left(t, 3, \frac{9}{2}\right) + f_1(t)\text{Li}_2(t) + f_2(t)\text{Li}_3(t) + 4(1+2t^2)\text{Li}_4(t); \\ c_1(t) &= \frac{61}{162} - \frac{\pi^2}{27} + \frac{136}{27}t - \frac{4\pi^2}{9}t - \frac{3734}{10125}t^2 + \frac{13\pi^2}{27}t^2 - \frac{5312}{385875}t^3 + \frac{16}{2205}t^4 - \\ &- \left(\frac{12}{35} - \frac{4}{45}t\right)t^4\Phi\left(t, 2, \frac{9}{2}\right) + f_1(t)\ln(1-t) - f_3(t)\text{Li}_2(t) - 2(1+2t^2)\text{Li}_3(t); \\ c_2(t) &= \frac{2869}{3780} - \frac{29}{70}t + \frac{2081}{1890}t^2 + \frac{1}{27}t^3 - \frac{\pi^2}{9}(1+2t^2) + \left(\frac{12}{35} - \frac{4}{45}t\right)\frac{1}{\sqrt{t}}\text{arctanh}(\sqrt{t}) - \\ &- f_4(t)\ln(1-t) + \frac{1}{3}(1+2t^2)\text{Li}_2(t), \quad c_3(t) = -\frac{4}{45}t^2 + \frac{44}{945}t^3; \\ d_0(t) &= \frac{31937}{68040} + \frac{32}{315t^2} + \frac{23104}{8505t} + \frac{6509}{630}t - \frac{334}{945}t^2 + \left(\frac{12}{35} - \frac{4}{45}t\right)\frac{1}{t^3}\Phi\left(\frac{1}{t}, 3, \frac{5}{2}\right) - \\ &- f_1(t)\text{Li}_2\left(\frac{1}{t}\right) + f_2(t)\text{Li}_3\left(\frac{1}{t}\right) - 4(1+2t^2)\text{Li}_4\left(\frac{1}{t}\right); \\ d_1(t) &= \frac{1579}{1134} + \frac{16}{105t^2} + \frac{3776}{2835t} + \frac{4568}{945}t - \frac{334}{945}t^2 + \left(\frac{12}{35} - \frac{4}{45}t\right)\frac{1}{t^3}\Phi\left(\frac{1}{t}, 2, \frac{5}{2}\right) + \\ &+ f_1(t)\ln\left(1 - \frac{1}{t}\right) + f_3(t)\text{Li}_2\left(\frac{1}{t}\right) - 2(1+2t^2)\text{Li}_3\left(\frac{1}{t}\right); \\ d_2(t) &= \frac{139}{3780} + \frac{111}{70}t - \frac{44}{315}t^2 + \left(\frac{12}{35} - \frac{4}{45}t\right)\frac{1}{\sqrt{t}}\text{arctanh}\left(\frac{1}{\sqrt{t}}\right) - f_4(t)\ln\left(1 - \frac{1}{t}\right) - \\ &- \frac{1}{3}(1+2t^2)\text{Li}_2\left(\frac{1}{t}\right), \end{aligned}$$

где Φ – функция Лерха; Lin – полилогарифм.

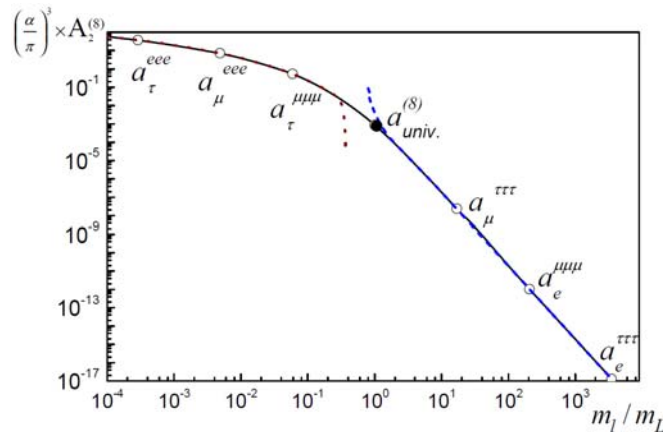


Рис. 2. Зависимость коэффициента $A_2^{(8)}$ от отношения масс лептонов

Рисунок 2 демонстрирует для диаграммы, представленной на рис. 1, зависимость вклада в АММ лептонов от отношения масс лептонов: точные выражения (2)–(3) – это сплошная линия, кривая из точек – разложение до 4-го порядка при $t < 1$, а пунктирная – для области $t > 1$. Черная точка соответствует универсальному вкладу:

$$A_2^{(8)}(t=1) = 3a_{\text{univ}}^{(8)} = \frac{151849}{40824} - \frac{2\pi^4}{45} + \frac{32\zeta(3)}{63}.$$

В данной работе получены точные аналитические выражения для вклада в аномальный магнитный момент лептона $(g-2)_L$, от диаграммы поляризации вакуума тремя лептонными петлями, в случае, когда одна из лептонных петель совпадает с исходным лептоном. Полученные аналитические выражения могут быть использованы для проверки трудоемких численных расчетов, качественных сравнений, а также могут быть востребованы в связи с планируемыми улучшениями точности экспериментов аномальным магнитным моментам лептонов.

Литература

1. Lautrup, B. E. Recent developments in the comparison between theory and experiments in quantum electrodynamics / B. E. Lautrup, A. Peterman, E. Rafael // Phys. Rept. – 1972. – Vol. 3. – P. 193–259.
2. The anomalous magnetic moment of the muon in the Standard Model / T. Aoyama [et al.] // Phys. Rept. – 2020. – Vol. 887. – P. 1–166.
3. Schwinger, J. S. Quantum electrodynamics. III: The electromagnetic properties of the electron: radiative corrections to scattering / J. S. Schwinger // Phys. Rev. – 1949. – Vol. 76. – P. 790–817.
4. Parker, R. H. Measurement of the fine-structure constant as a test of the Standard Model / R. H. Parker // Science. – 2018. – Vol. 360. – P. 191–195.
5. Davoudiasl, H. Tale of two anomalies / H. Davoudiasl, W. J. Marciano // Phys. Rev. D. – 2018. – Vol. 98. – Art. 075011. – P. 5.
6. (Muon g-2 Coll.) Measurement of the positive muon anomalous magnetic moment to 0.46 ppm / B. Abi [et al.] // Phys. Rev. Lett. – 2021. – Vol. 126. – Art. 141801. – P. 11.
7. Aguilar, J. P. Muon anomaly from lepton vacuum polarization and the Mellin-Barnes representation. / J. P. Aguilar, D. Greynat, E. Rafael // Phys. Rev. D. – 2008. – Vol. 77. – Art. 093010. – P. 27.